

(討14) 冷間伸線した高炭素鋼線材の再加熱に伴う機械的性質の変化に及ぼすNとAlの影響

八幡製鉄 光沢鉄所 技術部 岡本一生 江口直記
渡辺章三

I 序 言

鋼の性質に及ぼすNの影響は従来から詳細に研究され⁽¹⁾、特にAlNの影響はオーステナイト結晶粒度、熱間加工性、深絞り鋼板の elongated grain、高張力鋼の降伏点、切欠靭性などの関連について細かく検討されて⁽²⁾いる。しかしピアノ鋼線の如き高炭素鋼ではオーステナイト結晶粒度に対する影響が論ぜられる程度で殆んど研究されてない。周知の如くピアノ鋼線は Patenting 热处理後冷間伸線し、用途によっては歪時効温度域(ブルーリング、熱凍Snメッシュ)、再結晶開始温度域(熱凍Znメッシュ)に再加熱され实用に供されるので、これらの場合のピアノ線の特性値例へは、降伏応力、捻回数、応力弛緩に及ぼすN率⁽³⁾はAlの影響について2,3の実験を行った結果を報告する。

II 実験 試料

A~I鋼はハザレも100kg 高周波炉で溶製し A~C鋼はN 0.003%以下、D~F鋼はN 0.007%前後、G~H鋼はN 0.015%前後で夫々Al%を変えたものであり、P~T鋼は生産用鋼でQ、T鋼はAl添加の粗粒、P、R、S鋼はAl無添加の粗粒鋼にしたもので、ハザレも7mm中線材に熱間圧延し、900°C 加熱後500°C鉛浴焼入れて2.9mm中に冷間伸線した後、種々な温度に標準として30min 加熱し急冷した。再加熱に際しAlNの析出を考慮し加熱温度は100°C/Hrの一定にした。試料の分析値を表1に示す。AlN計算値は目安として示した。

III 実験 結果

AlNの固溶、析出は加熱、冷却過程で著しく異なることが知られて⁽³⁾いる。As Rolled 材を熱处理温度に再加熱したときのAlN量を図1に示す。700°C及び900~1000°Cに析出量の多いペークが見られ1000°C以上の高温で固溶量が増す。また、冷間伸線材は低温側への析出が少、多いようである。

Patenting時の加熱温度を900~1000°Cの間で25°C毎に変へると温度が高くなる程引張強さは高くなる傾向があるが、これはAlNの析出量より微細パラライトの生成量が多くなるためと思われる。

2.9mm中伸線材を各温度に再加熱し機械的性質を調べた結果、引張強さ、降伏点($\sigma_0.2$)は200°C附近で急増し、それ以上の温度では單調に低下するが、絞り及び捻回数は200°C附近の他に450°C附近で著しく低下することがあり、更に温度が高くなると増加する傾向が見られる。図2及び3にN%毎にこれを示す。

表1 実験試料の化学分析値(wt%)

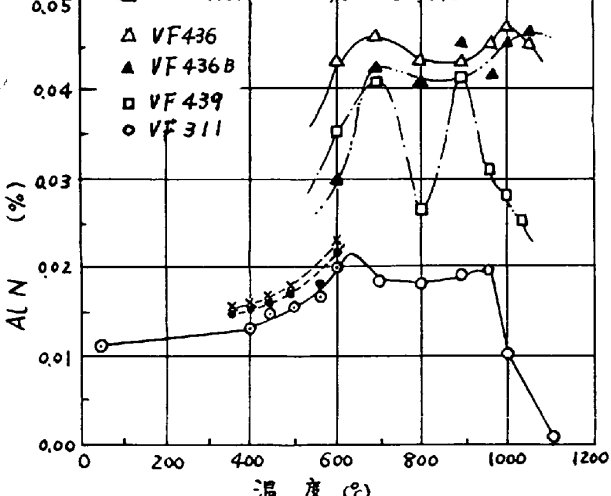
記号	ch.No	C	Si	Mn	sol.Al	intrad Al	sol N	intrad N	Al/N 計算 量
A	VF306	0.85	0.30	0.70	0.001	0.006	0.0026	0.0002	0.000
B	VF352	83	27	61	0.038	0.02	0.031	0.017	0.0026
C	VF490	80	27	52	0.112	0.010	0.017	0.006	0.0016
D	VF312	82	28	62	0.001	0.001	0.080	0.000	0.000
E	VF311	81	26	63	0.024	0.004	0.075	0.000	0.0092
F	VF494	79	25	52	0.160	0.005	0.062	0.011	0.0118
G	VF439	83	27	48	0.016	0.000	0.028	0.0135	0.005
H	VF436	78	28	46	0.070	0.000	0.053	0.022	0.0027
I	VF436B	78	29	47	0.150	0.000	0.137	0.035	0.0252
P	D47251	86	24	50	0.005	0.0001	0.074	0.000	0.000
Q	L48276	82	23	50	0.007	0.009	0.058	0.000	0.000
R		87	26	51	0.004	0.004	0.090	0.000	0.000
S		85	28	54	0.003	0.003	0.080	0.000	0.000
T		84	27	52	0.009	0.004	0.056	0.000	0.000

AlNは $\log(\text{Al} \%) (\text{N} \%) = -(7400/T) + 1.95$ で計算した

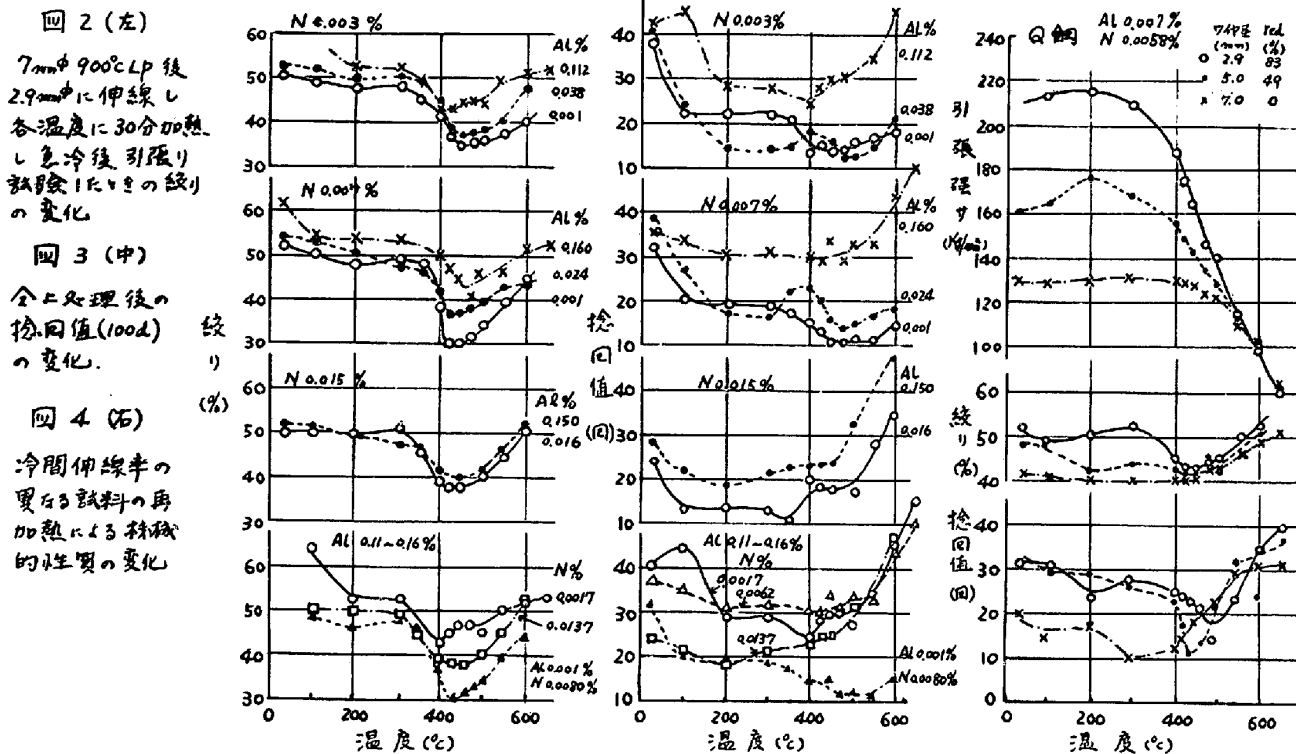
900°Cでの析出量(%)

オーステナイト結晶粒度は 925°C × 6Hr 游離法による。

図1 AlNの温度による変化



△▲□○印は7mm中圧延を各温度に1Hr加熱し焼入れしたもの。○2.6mm中LP→2.6mm中伸線×2.6mm中AP→1mm中伸線後夫々各温度に1Hr加熱し急冷したもの。

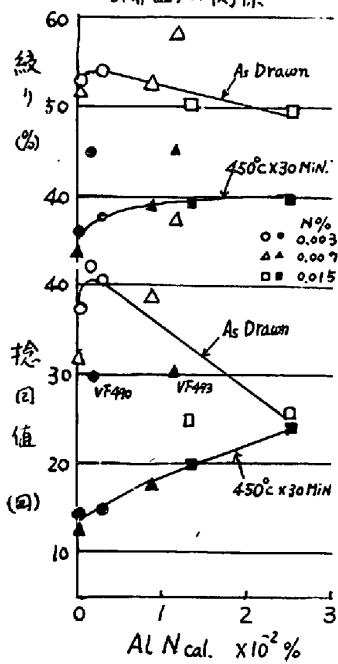


450°C附近の延性(絞り、捻回値)の劣化は 図4に示す加工度の異なる試料の結果からみて、冷間伸線材特有のもののように思われる。この温度は 加熱後の冷却速度に依存しない所謂第一次焼夷脆性線に相当するが、調質鋼の場合切欠強度にのみ現はれる故、現象的にはそれと異るものである。また特性値として捻回値をもつたのも種々問題がある⁽⁴⁾が、実用的見地から置いたものである。

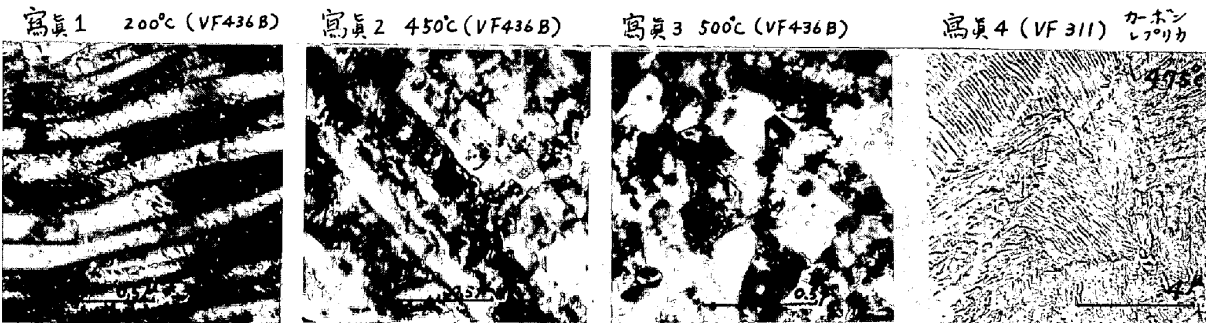
図から一般的に延性は N% が高くなる程悪くなり、各 N 水準では Al% が多くなる程良くなるようである。また Al 0.1% 以上のもの及び Al, N が共に高い場合 450°C 附近の延性特に捻回値の劣化は薄らぐが、これはなくなってしまうようである。図4に表1の ALN と 450°C 加熱後の絞り、捻回値との関係は図5の如くである。ここで VF490, VF494 は Free N は殆んどないものと考へられ、これらの延性はきわめて高く、450°C 附近の延性の劣化には N の影響があることを想像させる。

次にこれら的原因について考察してみよう。ピアノ鋼線の延性に最も影響するのはペーライト層間距離と伸線によって生ずるファイバー組織で、これには写真1に示す如く多數の転位が含まれている。伸線材を加熱すると鉄中の固溶 C, N は転位線上に移動し転位を固定し歪時効を生ずるが、更に温度が上昇し 300~400°C になるとニアライト内の転位はボリゴン化し 400°C を超えるとその傾向は更に強くなる。一方板状 Fe₃C は 400°C 附近から少しづれ始め、より安定な球状 Fe₃C へ変化し始めるが、その徴候は 450°C から明瞭で(写真2)、550°C では終り 600°C で完全に球状化する。この Fe₃C の球状化は延性の増加に寄与するが、ファイバー組織の崩壊は捻回値に対し不利に働く。ニアライトの再結晶は 450°C から明瞭で角張ったもので、恐らくセル構造の整理されたもので、500°C では全面に Subgrain がみられ 550°C になると Subgrain の併合、成長が進行し加工によって生じた転位はも早やみられなくなる(写真3)。再結晶は延性の回復にきわめて効果的であることは云うまでもなくファイバー組織

図5. 絞り、捻回値と ALN(計算値)の関係



の崩壊による焼結度の劣化をかり補償しよう。 Fe_3C の「まゝ」の変化は写真 4 に示す結晶粒内偏析で、 Fe_3C の溶解・再析出によるものと考へるが、この粒界への移動は板状 Fe_3C の寸断が始まる約400°Cから始まり温度が高くなる程激しく、500~550°Cでは比較的太い粒状化 Fe_3C が粒界に偏在し場所によっては粒界の2/3を壁を作る。この現象は焼成カルテンサイトにも見られるが、延性の劣化をもたらす。 $Free N$ の膨らみをもつ VF490, 494 で示される 450°C 附近の延性的低下は主としてこれによるものであろう。 $Free N$ の存在する場合、N の溶解度変化がこれに重畠し 450°C 附近の延性的低下は更に大になる。AlN の存在は再結晶速度を大きくさせるとされるが、本実験の場合明瞭ではなかった。図 5 に示す AlN の効果は再結晶粒の微細化を通じ延性的向上に寄与していると思われる。なお図 5 において As Drawn の延性が AlN 量と共に低下してくるのは、オーステナイト粒が細かく Patenting 時の生成パーライトが粗くなったのが主効果である。

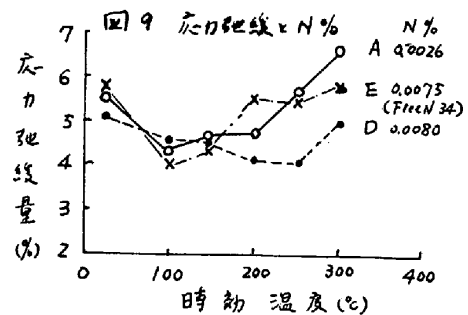
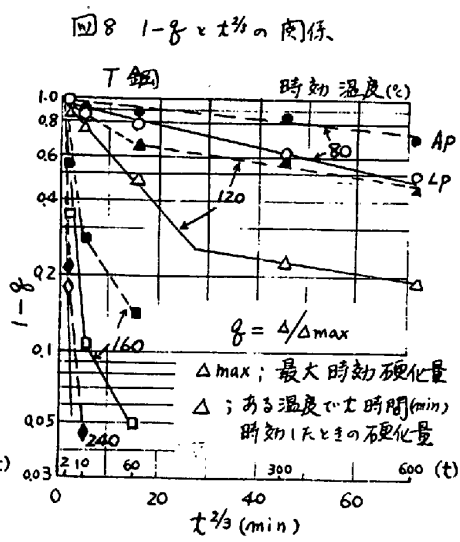
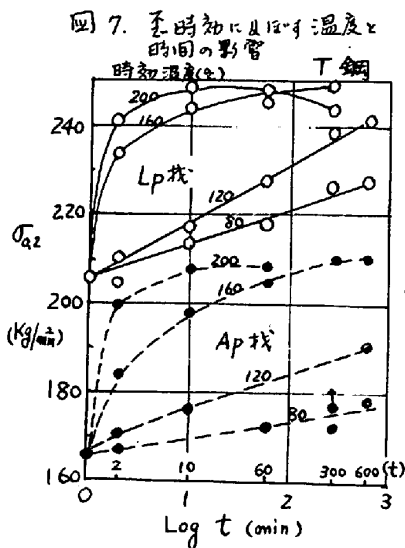
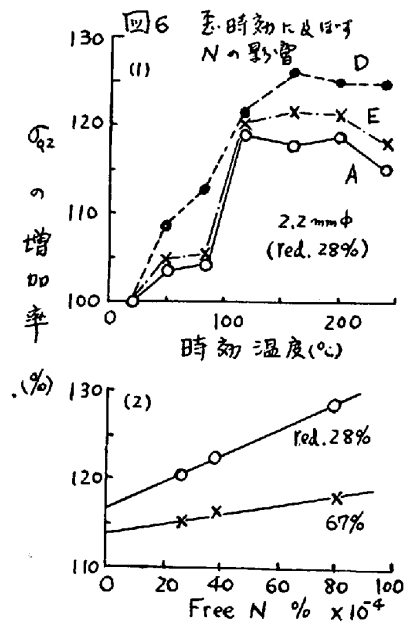


200°C 附近の歪時効を更に詳細に調べるために、N 量の異なる A, E, D 鋼を用ひ 2.6mm 中線を 900°C → 500°C Load Patenting (LP) し 2.2(28%), 1.5(67%) 1.0(85%) mm 中に伸線し 50~240°C で 2~600 min 加熱し $\sigma_{0.2}$ を測定した。各時効温度の最大硬化率は図 6-1 の如くで、 $Free N$ (E 鋼) の $AlN = 0.0121\%$ と最大硬化率との関係は図 6-2 の如くなり、 $Free N$ 量と共に $\sigma_{0.2}$ 増加率は大となる。無軸とての変異は固溶 C によるものであらう。図 6 に於いて加工率が高い場合 硬化率が低いのは 伸線加工により 鋼中に固溶された N 又は C が析出したため考へられ 内耗測定によつても Shock peak 高さが低くである。歪時効の進行は図 7 の如くで、これを S. Harper⁽⁶⁾ が Puron を用ひ内耗の変化から歪時効速度を求めた方法に倣つて、 $1-g$ と $\sigma_{0.2}$ の関係を求めるところ 8 のようになる。時効温度 80°C 及び 120°C の初期では両者はほぼ直線関係があるが、これ以上の条件では直線関係はない、川崎⁽⁷⁾ が他の方法で求めた軟鋼の結果と同傾向である。図 8 で熱处理条件の比較をすると LP は AP (900°C Air cool) に較べ時効の進行が早くこれは Fe_3C が微細で加工による軸位密度も高くこれらが C, N の析出 site に有りためと思われる。また図 8 から $g = 0.5 \text{ N} \cdot \text{m}^{-0.8}$ で 外々の温度、時間を求めこれより拡散に要する活性化エネルギーを計算すると約 21,400 cal/mol となり他の方法で求められた値とは一致する。

次にピアノ鋼線の応力弛緩に及ぼす N の影響を知るため A, E, D 鋼を用ひ 100~300°C で歪時効させた後 $\sigma_{0.2}$ の 80% 応力を常温で試験した。この結果は 図 9 に示す如く 時効温度 100~250°C で弛緩量は少く、N 含有量が高くなる程 弛緩は少く、効果のある温度域も広い。これは 応力弛緩は微視的塑性変形によるもので 軸位の固定が弛緩を少くするために効果的であるからと思われる。なおこれに対しては応力時効処理は更に有効でこの場合の N は窒化物の効果も期待される。

IV 結論

ピアノ鋼線級の高炭素鋼に於ける N と Al の影響について二、三の実験を行つた。この結果の概要は次の如くである。



1. C°A, 線材の As Patenting, As Drawn の強度は ALN の増加と共に減少する。これはオーステナイト結晶粒の微細化による微細パーライトの減少によると思われる。
2. C°A, 線材を常温で冷間伸線した後再加熱すると、200°C附近で所謂率時効し降伏応力は増加し絞り、捻回直後の延性が減少する。これは転位への固溶 C, N の移動、析出によるが、率時効硬化率は伸線加工度に対し l_n の Max. がありまた析出温度には東北組織の影響もある。
3. 冷間伸線した C°A, 線材を 400~500°C で再加熱すると延性の著しい低下がある場合があり、冷間伸線材特有のものと思われる。これは C, N の固溶、再析出とこれに伴う Fe-C の結晶粒界偏析並にニアバーグ組織の崩壊によると思われる、N量の増加と共に大きくなる。Al添加による Free N の除去は延性低下の防止に効果的である。この温度附近で始まる再結晶は延性の回復に寄与するが、ALN の多い場合再結晶粒の微細化は延性増加に有効であろう。Alのこれらの重畠効果により、450°C附近の延性は ALN の増加と共に増大する。

- (1) 今井：鉄と鋼 51 (1965) 2336
- (2) 長谷部：日本金属学会会報 1 (1962) 527, 鉄と鋼: 48 (1962) 761, 深川：日本金属学会シンポジウム 強化鋼 (1966) 67 参照
- (3) 氏家：日本金属学会会報 5 (1966) 17
- (4) 鈴木, 木内：塑性と加工 2 (1966) 464
- (5) 今井：日本金属学会誌 18 (1954) 524
- (6) S. Harper : Phys. Rev. 83 (1951) 709
- (7) 川崎：材料 13 (1964) 445